

Atena
Editora
Ano 2021

DESAFIOS E IMPACTO DAS ENGENHARIAS NO BRASIL E NO MUNDO

**Carlos Augusto Zilli
(Organizador)**



Atena
Editora
Ano 2021

DESAFIOS E IMPACTO DAS ENGENHARIAS NO BRASIL E NO MUNDO

**Carlos Augusto Zilli
(Organizador)**



Editora Chefe

Profª Drª Antonella Carvalho de Oliveira

Assistentes Editoriais

Natalia Oliveira

Bruno Oliveira

Flávia Roberta Barão

Bibliotecária

Janaina Ramos

Projeto Gráfico e Diagramação

Natália Sandrini de Azevedo

Camila Alves de Cremona

Luiza Alves Batista

Maria Alice Pinheiro

Imagens da Capa

Shutterstock

Edição de Arte

Luiza Alves Batista

Revisão

Os Autores

2021 by Atena Editora

Copyright © Atena Editora

Copyright do Texto © 2021 Os autores

Copyright da Edição © 2021 Atena Editora

Direitos para esta edição cedidos à Atena Editora pelos autores.



Todo o conteúdo deste livro está licenciado sob uma Licença de Atribuição *Creative Commons*. Atribuição-Não-Comercial-NãoDerivativos 4.0 Internacional (CC BY-NC-ND 4.0).

O conteúdo dos artigos e seus dados em sua forma, correção e confiabilidade são de responsabilidade exclusiva dos autores, inclusive não representam necessariamente a posição oficial da Atena Editora. Permitido o *download* da obra e o compartilhamento desde que sejam atribuídos créditos aos autores, mas sem a possibilidade de alterá-la de nenhuma forma ou utilizá-la para fins comerciais.

Todos os manuscritos foram previamente submetidos à avaliação cega pelos pares, membros do Conselho Editorial desta Editora, tendo sido aprovados para a publicação com base em critérios de neutralidade e imparcialidade acadêmica.

A Atena Editora é comprometida em garantir a integridade editorial em todas as etapas do processo de publicação, evitando plágio, dados ou resultados fraudulentos e impedindo que interesses financeiros comprometam os padrões éticos da publicação. Situações suspeitas de má conduta científica serão investigadas sob o mais alto padrão de rigor acadêmico e ético.

Conselho Editorial

Ciências Humanas e Sociais Aplicadas

Prof. Dr. Alexandre Jose Schumacher – Instituto Federal de Educação, Ciência e Tecnologia do Paraná

Prof. Dr. Américo Junior Nunes da Silva – Universidade do Estado da Bahia

Prof. Dr. Antonio Carlos Frasson – Universidade Tecnológica Federal do Paraná

Prof. Dr. Antonio Gasparetto Júnior – Instituto Federal do Sudeste de Minas Gerais

Prof. Dr. Antonio Isidro-Filho – Universidade de Brasília

Prof. Dr. Carlos Antonio de Souza Moraes – Universidade Federal Fluminense
Prof. Dr. Crisóstomo Lima do Nascimento – Universidade Federal Fluminense
Profª Drª Cristina Gaio – Universidade de Lisboa
Prof. Dr. Daniel Richard Sant’Ana – Universidade de Brasília
Prof. Dr. Deyvison de Lima Oliveira – Universidade Federal de Rondônia
Profª Drª Dilma Antunes Silva – Universidade Federal de São Paulo
Prof. Dr. Edvaldo Antunes de Farias – Universidade Estácio de Sá
Prof. Dr. Elson Ferreira Costa – Universidade do Estado do Pará
Prof. Dr. Elói Martins Senhora – Universidade Federal de Roraima
Prof. Dr. Gustavo Henrique Cepolini Ferreira – Universidade Estadual de Montes Claros
Profª Drª Ivone Goulart Lopes – Istituto Internazionale delle Figlie de Maria Ausiliatrice
Prof. Dr. Jadson Correia de Oliveira – Universidade Católica do Salvador
Prof. Dr. Julio Candido de Meirelles Junior – Universidade Federal Fluminense
Profª Drª Lina Maria Gonçalves – Universidade Federal do Tocantins
Prof. Dr. Luis Ricardo Fernandes da Costa – Universidade Estadual de Montes Claros
Profª Drª Natiéli Piovesan – Instituto Federal do Rio Grande do Norte
Prof. Dr. Marcelo Pereira da Silva – Pontifícia Universidade Católica de Campinas
Profª Drª Maria Luzia da Silva Santana – Universidade Federal de Mato Grosso do Sul
Prof. Dr. Pablo Ricardo de Lima Falcão – Universidade de Pernambuco
Profª Drª Paola Andressa Scortegagna – Universidade Estadual de Ponta Grossa
Profª Drª Rita de Cássia da Silva Oliveira – Universidade Estadual de Ponta Grossa
Prof. Dr. Rui Maia Diamantino – Universidade Salvador
Prof. Dr. Saulo Cerqueira de Aguiar Soares – Universidade Federal do Piauí
Prof. Dr. Urandi João Rodrigues Junior – Universidade Federal do Oeste do Pará
Profª Drª Vanessa Bordin Viera – Universidade Federal de Campina Grande
Profª Drª Vanessa Ribeiro Simon Cavalcanti – Universidade Católica do Salvador
Prof. Dr. William Cleber Domingues Silva – Universidade Federal Rural do Rio de Janeiro
Prof. Dr. Willian Douglas Guilherme – Universidade Federal do Tocantins

Ciências Agrárias e Multidisciplinar

Prof. Dr. Alexandre Igor Azevedo Pereira – Instituto Federal Goiano
Prof. Dr. Arinaldo Pereira da Silva – Universidade Federal do Sul e Sudeste do Pará
Prof. Dr. Antonio Pasqualetto – Pontifícia Universidade Católica de Goiás
Profª Drª Carla Cristina Bauermann Brasil – Universidade Federal de Santa Maria
Prof. Dr. Cleberton Correia Santos – Universidade Federal da Grande Dourados
Profª Drª Diocléa Almeida Seabra Silva – Universidade Federal Rural da Amazônia
Prof. Dr. Écio Souza Diniz – Universidade Federal de Viçosa
Prof. Dr. Fábio Steiner – Universidade Estadual de Mato Grosso do Sul
Prof. Dr. Fágner Cavalcante Patrocínio dos Santos – Universidade Federal do Ceará
Profª Drª Girlene Santos de Souza – Universidade Federal do Recôncavo da Bahia
Prof. Dr. Jael Soares Batista – Universidade Federal Rural do Semi-Árido
Prof. Dr. Jayme Augusto Peres – Universidade Estadual do Centro-Oeste
Prof. Dr. Júlio César Ribeiro – Universidade Federal Rural do Rio de Janeiro
Profª Drª Lina Raquel Santos Araújo – Universidade Estadual do Ceará
Prof. Dr. Pedro Manuel Villa – Universidade Federal de Viçosa
Profª Drª Raissa Rachel Salustriano da Silva Matos – Universidade Federal do Maranhão
Prof. Dr. Ronilson Freitas de Souza – Universidade do Estado do Pará
Profª Drª Talita de Santos Matos – Universidade Federal Rural do Rio de Janeiro
Prof. Dr. Tiago da Silva Teófilo – Universidade Federal Rural do Semi-Árido
Prof. Dr. Valdemar Antonio Paffaro Junior – Universidade Federal de Alfenas

Ciências Biológicas e da Saúde

Prof. Dr. André Ribeiro da Silva – Universidade de Brasília
Profª Drª Anelise Levay Murari – Universidade Federal de Pelotas
Prof. Dr. Benedito Rodrigues da Silva Neto – Universidade Federal de Goiás
Profª Drª Daniela Reis Joaquim de Freitas – Universidade Federal do Piauí
Profª Drª Débora Luana Ribeiro Pessoa – Universidade Federal do Maranhão
Prof. Dr. Douglas Siqueira de Almeida Chaves – Universidade Federal Rural do Rio de Janeiro
Prof. Dr. Edson da Silva – Universidade Federal dos Vales do Jequitinhonha e Mucuri
Profª Drª Elizabeth Cordeiro Fernandes – Faculdade Integrada Medicina
Profª Drª Eleuza Rodrigues Machado – Faculdade Anhanguera de Brasília
Profª Drª Elane Schwinden Prudêncio – Universidade Federal de Santa Catarina
Profª Drª Eysler Gonçalves Maia Brasil – Universidade da Integração Internacional da Lusofonia Afro-Brasileira
Prof. Dr. Ferlando Lima Santos – Universidade Federal do Recôncavo da Bahia
Profª Drª Fernanda Miguel de Andrade – Universidade Federal de Pernambuco
Prof. Dr. Fernando Mendes – Instituto Politécnico de Coimbra – Escola Superior de Saúde de Coimbra
Profª Drª Gabriela Vieira do Amaral – Universidade de Vassouras
Prof. Dr. Gianfábio Pimentel Franco – Universidade Federal de Santa Maria
Prof. Dr. Helio Franklin Rodrigues de Almeida – Universidade Federal de Rondônia
Profª Drª Iara Lúcia Tescarollo – Universidade São Francisco
Prof. Dr. Igor Luiz Vieira de Lima Santos – Universidade Federal de Campina Grande
Prof. Dr. Jefferson Thiago Souza – Universidade Estadual do Ceará
Prof. Dr. Jesus Rodrigues Lemos – Universidade Federal do Piauí
Prof. Dr. Jônatas de França Barros – Universidade Federal do Rio Grande do Norte
Prof. Dr. José Max Barbosa de Oliveira Junior – Universidade Federal do Oeste do Pará
Prof. Dr. Luís Paulo Souza e Souza – Universidade Federal do Amazonas
Profª Drª Magnólia de Araújo Campos – Universidade Federal de Campina Grande
Prof. Dr. Marcus Fernando da Silva Praxedes – Universidade Federal do Recôncavo da Bahia
Profª Drª Maria Tatiane Gonçalves Sá – Universidade do Estado do Pará
Profª Drª Mylena Andréa Oliveira Torres – Universidade Ceuma
Profª Drª Natiéli Piovesan – Instituto Federacl do Rio Grande do Norte
Prof. Dr. Paulo Inada – Universidade Estadual de Maringá
Prof. Dr. Rafael Henrique Silva – Hospital Universitário da Universidade Federal da Grande Dourados
Profª Drª Regiane Luz Carvalho – Centro Universitário das Faculdades Associadas de Ensino
Profª Drª Renata Mendes de Freitas – Universidade Federal de Juiz de Fora
Profª Drª Vanessa Lima Gonçalves – Universidade Estadual de Ponta Grossa
Profª Drª Vanessa Bordin Viera – Universidade Federal de Campina Grande
Profª Drª Welma Emidio da Silva – Universidade Federal Rural de Pernambuco

Ciências Exatas e da Terra e Engenharias

Prof. Dr. Adélio Alcino Sampaio Castro Machado – Universidade do Porto
Profª Drª Ana Grasielle Dionísio Corrêa – Universidade Presbiteriana Mackenzie
Prof. Dr. Carlos Eduardo Sanches de Andrade – Universidade Federal de Goiás
Profª Drª Carmen Lúcia Voigt – Universidade Norte do Paraná
Prof. Dr. Cleiseano Emanuel da Silva Paniagua – Instituto Federal de Educação, Ciência e Tecnologia de Goiás
Prof. Dr. Douglas Gonçalves da Silva – Universidade Estadual do Sudoeste da Bahia
Prof. Dr. Eloi Rufato Junior – Universidade Tecnológica Federal do Paraná
Profª Drª Érica de Melo Azevedo – Instituto Federal do Rio de Janeiro
Prof. Dr. Fabrício Menezes Ramos – Instituto Federal do Pará
Profª Dra. Jéssica Verger Nardeli – Universidade Estadual Paulista Júlio de Mesquita Filho
Prof. Dr. Juliano Carlo Rufino de Freitas – Universidade Federal de Campina Grande

Profª Drª Luciana do Nascimento Mendes – Instituto Federal de Educação, Ciência e Tecnologia do Rio Grande do Norte
Prof. Dr. Marcelo Marques – Universidade Estadual de Maringá
Prof. Dr. Marco Aurélio Kistemann Junior – Universidade Federal de Juiz de Fora
Profª Drª Neiva Maria de Almeida – Universidade Federal da Paraíba
Profª Drª Natiéli Piovesan – Instituto Federal do Rio Grande do Norte
Profª Drª Priscila Tessmer Scaglioni – Universidade Federal de Pelotas
Prof. Dr. Sidney Gonçalves de Lima – Universidade Federal do Piauí
Prof. Dr. Takeshy Tachizawa – Faculdade de Campo Limpo Paulista

Linguística, Letras e Artes

Profª Drª Adriana Demite Stephani – Universidade Federal do Tocantins
Profª Drª Angeli Rose do Nascimento – Universidade Federal do Estado do Rio de Janeiro
Profª Drª Carolina Fernandes da Silva Mandaji – Universidade Tecnológica Federal do Paraná
Profª Drª Denise Rocha – Universidade Federal do Ceará
Profª Drª Edna Alencar da Silva Rivera – Instituto Federal de São Paulo
Profª Drª Fernanda Tonelli – Instituto Federal de São Paulo,
Prof. Dr. Fabiano Tadeu Grazioli – Universidade Regional Integrada do Alto Uruguai e das Missões
Prof. Dr. Gilmei Fleck – Universidade Estadual do Oeste do Paraná
Profª Drª Keyla Christina Almeida Portela – Instituto Federal de Educação, Ciência e Tecnologia do Paraná
Profª Drª Miraniide Oliveira Neves – Instituto de Educação, Ciência e Tecnologia do Pará
Profª Drª Sandra Regina Gardacho Pietrobon – Universidade Estadual do Centro-Oeste
Profª Drª Sheila Marta Carregosa Rocha – Universidade do Estado da Bahia

Conselho Técnico Científico

Prof. Me. Abrãao Carvalho Nogueira – Universidade Federal do Espírito Santo
Prof. Me. Adalberto Zorzo – Centro Estadual de Educação Tecnológica Paula Souza
Prof. Dr. Adaylson Wagner Sousa de Vasconcelos – Ordem dos Advogados do Brasil/Seccional Paraíba
Prof. Dr. Adilson Tadeu Basquerote Silva – Universidade para o Desenvolvimento do Alto Vale do Itajaí
Profª Ma. Adriana Regina Vettorazzi Schmitt – Instituto Federal de Santa Catarina
Prof. Dr. Alex Luis dos Santos – Universidade Federal de Minas Gerais
Prof. Me. Alexsandro Teixeira Ribeiro – Centro Universitário Internacional
Profª Ma. Aline Ferreira Antunes – Universidade Federal de Goiás
Profª Drª Amanda Vasconcelos Guimarães – Universidade Federal de Lavras
Prof. Me. André Flávio Gonçalves Silva – Universidade Federal do Maranhão
Profª Ma. Andréa Cristina Marques de Araújo – Universidade Fernando Pessoa
Profª Drª Andrezza Lopes – Instituto de Pesquisa e Desenvolvimento Acadêmico
Profª Drª Andrezza Miguel da Silva – Faculdade da Amazônia
Profª Ma. Anelisa Mota Gregoleti – Universidade Estadual de Maringá
Profª Ma. Anne Karynne da Silva Barbosa – Universidade Federal do Maranhão
Prof. Dr. Antonio Hot Pereira de Faria – Polícia Militar de Minas Gerais
Prof. Me. Armando Dias Duarte – Universidade Federal de Pernambuco
Profª Ma. Bianca Camargo Martins – UniCesumar
Profª Ma. Carolina Shimomura Nanya – Universidade Federal de São Carlos
Prof. Me. Carlos Antônio dos Santos – Universidade Federal Rural do Rio de Janeiro
Prof. Me. Carlos Augusto Zilli – Instituto Federal de Santa Catarina
Prof. Me. Christopher Smith Bignardi Neves – Universidade Federal do Paraná
Profª Drª Cláudia de Araújo Marques – Faculdade de Música do Espírito Santo
Profª Drª Cláudia Taís Siqueira Cagliari – Centro Universitário Dinâmica das Cataratas
Prof. Me. Clécio Danilo Dias da Silva – Universidade Federal do Rio Grande do Norte
Prof. Me. Daniel da Silva Miranda – Universidade Federal do Pará
Profª Ma. Daniela da Silva Rodrigues – Universidade de Brasília
Profª Ma. Daniela Remião de Macedo – Universidade de Lisboa

Profª Ma. Dayane de Melo Barros – Universidade Federal de Pernambuco
Prof. Me. Douglas Santos Mezacas – Universidade Estadual de Goiás
Prof. Me. Edevaldo de Castro Monteiro – Embrapa Agrobiologia
Prof. Me. Edson Ribeiro de Britto de Almeida Junior – Universidade Estadual de Maringá
Prof. Me. Eduardo Gomes de Oliveira – Faculdades Unificadas Doctum de Cataguases
Prof. Me. Eduardo Henrique Ferreira – Faculdade Pitágoras de Londrina
Prof. Dr. Edwaldo Costa – Marinha do Brasil
Prof. Me. Eliel Constantino da Silva – Universidade Estadual Paulista Júlio de Mesquita
Prof. Me. Ernane Rosa Martins – Instituto Federal de Educação, Ciência e Tecnologia de Goiás
Prof. Me. Euvaldo de Sousa Costa Junior – Prefeitura Municipal de São João do Piauí
Prof. Dr. Everaldo dos Santos Mendes – Instituto Edith Theresa Hedwing Stein
Prof. Me. Ezequiel Martins Ferreira – Universidade Federal de Goiás
Profª Ma. Fabiana Coelho Couto Rocha Corrêa – Centro Universitário Estácio Juiz de Fora
Prof. Me. Fabiano Eloy Atilio Batista – Universidade Federal de Viçosa
Prof. Me. Felipe da Costa Negrão – Universidade Federal do Amazonas
Prof. Me. Francisco Odécio Sales – Instituto Federal do Ceará
Prof. Me. Francisco Sérgio Lopes Vasconcelos Filho – Universidade Federal do Cariri
Profª Drª Germana Ponce de Leon Ramírez – Centro Universitário Adventista de São Paulo
Prof. Me. Gevair Campos – Instituto Mineiro de Agropecuária
Prof. Me. Givanildo de Oliveira Santos – Secretaria da Educação de Goiás
Prof. Dr. Guilherme Renato Gomes – Universidade Norte do Paraná
Prof. Me. Gustavo Krahl – Universidade do Oeste de Santa Catarina
Prof. Me. Helton Rangel Coutinho Junior – Tribunal de Justiça do Estado do Rio de Janeiro
Profª Ma. Isabelle Cerqueira Sousa – Universidade de Fortaleza
Profª Ma. Jaqueline Oliveira Rezende – Universidade Federal de Uberlândia
Prof. Me. Javier Antonio Albornoz – University of Miami and Miami Dade College
Prof. Me. Jhonatan da Silva Lima – Universidade Federal do Pará
Prof. Dr. José Carlos da Silva Mendes – Instituto de Psicologia Cognitiva, Desenvolvimento Humano e Social
Prof. Me. Jose Elyton Batista dos Santos – Universidade Federal de Sergipe
Prof. Me. José Luiz Leonardo de Araujo Pimenta – Instituto Nacional de Investigación Agropecuaria Uruguay
Prof. Me. José Messias Ribeiro Júnior – Instituto Federal de Educação Tecnológica de Pernambuco
Profª Drª Juliana Santana de Curcio – Universidade Federal de Goiás
Profª Ma. Juliana Thaisa Rodrigues Pacheco – Universidade Estadual de Ponta Grossa
Profª Drª Kamilly Souza do Vale – Núcleo de Pesquisas Fenomenológicas/UFGA
Prof. Dr. Kárpio Márcio de Siqueira – Universidade do Estado da Bahia
Profª Drª Karina de Araújo Dias – Prefeitura Municipal de Florianópolis
Prof. Dr. Lázaro Castro Silva Nascimento – Laboratório de Fenomenología & Subjetividade/UFPR
Prof. Me. Leonardo Tullio – Universidade Estadual de Ponta Grossa
Profª Ma. Lilian Coelho de Freitas – Instituto Federal do Pará
Profª Ma. Lilian de Souza – Faculdade de Tecnologia de Itu
Profª Ma. Liliani Aparecida Sereno Fontes de Medeiros – Consórcio CEDERJ
Profª Drª Lúvia do Carmo Silva – Universidade Federal de Goiás
Prof. Dr. Lucio Marques Vieira Souza – Secretaria de Estado da Educação, do Esporte e da Cultura de Sergipe
Prof. Dr. Luan Vinicius Bernardelli – Universidade Estadual do Paraná
Profª Ma. Luana Ferreira dos Santos – Universidade Estadual de Santa Cruz
Profª Ma. Luana Vieira Toledo – Universidade Federal de Viçosa
Prof. Me. Luis Henrique Almeida Castro – Universidade Federal da Grande Dourados
Prof. Me. Luiz Renato da Silva Rocha – Faculdade de Música do Espírito Santo
Profª Ma. Luma Sarai de Oliveira – Universidade Estadual de Campinas
Prof. Dr. Michel da Costa – Universidade Metropolitana de Santos

Prof. Me. Marcelo da Fonseca Ferreira da Silva – Governo do Estado do Espírito Santo
Prof. Dr. Marcelo Máximo Purificação – Fundação Integrada Municipal de Ensino Superior
Prof. Me. Marcos Aurelio Alves e Silva – Instituto Federal de Educação, Ciência e Tecnologia de São Paulo
Profª Ma. Maria Elanny Damasceno Silva – Universidade Federal do Ceará
Profª Ma. Marileila Marques Toledo – Universidade Federal dos Vales do Jequitinhonha e Mucuri
Prof. Dr. Pedro Henrique Abreu Moura – Empresa de Pesquisa Agropecuária de Minas Gerais
Prof. Me. Pedro Panhoca da Silva – Universidade Presbiteriana Mackenzie
Profª Drª Poliana Arruda Fajardo – Universidade Federal de São Carlos
Prof. Me. Rafael Cunha Ferro – Universidade Anhembi Morumbi
Prof. Me. Ricardo Sérgio da Silva – Universidade Federal de Pernambuco
Prof. Me. Renan Monteiro do Nascimento – Universidade de Brasília
Prof. Me. Renato Faria da Gama – Instituto Gama – Medicina Personalizada e Integrativa
Profª Ma. Renata Luciane Polsaque Young Blood – UniSecal
Prof. Me. Robson Lucas Soares da Silva – Universidade Federal da Paraíba
Prof. Me. Sebastião André Barbosa Junior – Universidade Federal Rural de Pernambuco
Profª Ma. Silene Ribeiro Miranda Barbosa – Consultoria Brasileira de Ensino, Pesquisa e Extensão
Profª Ma. Solange Aparecida de Souza Monteiro – Instituto Federal de São Paulo
Profª Ma. Taiane Aparecida Ribeiro Nepomoceno – Universidade Estadual do Oeste do Paraná
Prof. Me. Tallys Newton Fernandes de Matos – Faculdade Regional Jaguaribana
Profª Ma. Thatianny Jasmine Castro Martins de Carvalho – Universidade Federal do Piauí
Prof. Me. Tiago Silvio Dedoné – Colégio ECEL Positivo
Prof. Dr. Welleson Feitosa Gazel – Universidade Paulista

Desafios e impacto das engenharias no Brasil e no mundo

Bibliotecária: Janaina Ramos
Diagramação: Camila Alves de Cremo
Correção: Mariane Aparecida Freitas
Edição de Arte: Luiza Alves Batista
Revisão: Os Autores
Organizador: Carlos Augusto Zilli

Dados Internacionais de Catalogação na Publicação (CIP)

D441 Desafios e impacto das engenharias no Brasil e no mundo /
Organizador Carlos Augusto Zilli. – Ponta Grossa - PR:
Atena, 2021.

Formato: PDF
Requisitos de sistema: Adobe Acrobat Reader
Modo de acesso: World Wide Web
Inclui bibliografia
ISBN 978-65-5983-132-6
DOI 10.22533/at.ed.326210106

1. Engenharia. I. Zilli, Carlos Augusto (Organizador). II.
Título.

CDD 620

Elaborado por Bibliotecária Janaina Ramos – CRB-8/9166

Atena Editora
Ponta Grossa – Paraná – Brasil
Telefone: +55 (42) 3323-5493
www.atenaeditora.com.br
contato@atenaeditora.com.br

DECLARAÇÃO DOS AUTORES

Os autores desta obra: 1. Atestam não possuir qualquer interesse comercial que constitua um conflito de interesses em relação ao artigo científico publicado; 2. Declaram que participaram ativamente da construção dos respectivos manuscritos, preferencialmente na: a) Concepção do estudo, e/ou aquisição de dados, e/ou análise e interpretação de dados; b) Elaboração do artigo ou revisão com vistas a tornar o material intelectualmente relevante; c) Aprovação final do manuscrito para submissão.; 3. Certificam que os artigos científicos publicados estão completamente isentos de dados e/ou resultados fraudulentos; 4. Confirmam a citação e a referência correta de todos os dados e de interpretações de dados de outras pesquisas; 5. Reconhecem terem informado todas as fontes de financiamento recebidas para a consecução da pesquisa.

APRESENTAÇÃO

Esta obra, intitulada “Desafios e Impacto das Engenharias no Brasil e no Mundo”, apresenta 17 capítulos que abordam pesquisas relevantes sobre os impactos e desafios enfrentados pela engenharia mundo afora, tais como: Saneamento Básico, Concreto em Situações de Incêndio, Sistemas de Monitoramento Térmico em Construções, Estabilidade de Solos, Auditoria de Barragens, Rotas Rodofluviais, Políticas Públicas e Compostos Bioativos.

Desta forma, esta obra se mostra potencialmente disponível para contribuir com discussões e análises aprofundadas acerca de assuntos atuais e relevantes, servindo como base referencial para futuras investigações.

Deixo, aos autores dos capítulos, um agradecimento especial, e aos futuros leitores, anseio que esta obra sirva como fonte inspiradora e reflexiva.

Esta obra é indicada para os mais diversos leitores, tendo em vista que foi produzida por meio de linguagem fluída e abordagem prática, o que favorece a compreensão dos conceitos apresentados pelos mais diversos públicos, sendo indicada, em especial, aos amantes da área de engenharia.

Carlos Augusto Zilli

SUMÁRIO

CAPÍTULO 1..... 1

AVALIAÇÃO COMPARATIVA DO IMPACTO DA VARIAÇÃO DE CURVAS GRANULOMÉTRICAS DENSAS NO NÍVEL DE ABSORÇÃO SONORA DE MISTURAS ASFÁLTICAS

Bettina Buchholz
Breno Salgado Barra
Yader Guerrero Pérez
Alexandre Mikowski
Marcelo Heidemann
Helena Paula Nierwinski
Daniel Hastenp lug

DOI 10.22533/at.ed.3262101061

CAPÍTULO 2..... 14

DESIGN FAILURE MODE AND EFFECTS ANALYSIS (DFMEA) OF THE ROD OF THE SUBSEA PIPELINE LOCKING SYSTEM IN AN OPEN PLET

Raphael Basilio Pires Nonato
Weslley Souza Gouvêa

DOI 10.22533/at.ed.3262101062

CAPÍTULO 3..... 29

ANÁLISE COMPARATIVA DE OPÇÕES PARA A DISTRIBUIÇÃO DE CORDOALHAS EM LAJES LISAS PROTENDIDAS SEM ADERÊNCIA

Anselmo Leal Carneiro
Lorenzo Augusto Ruschi e Luchi

DOI 10.22533/at.ed.3262101063

CAPÍTULO 4..... 43

PROPOSTA DE UM MÉTODO SIMPLIFICADO PARA ANÁLISE DE VIGAS DE CONCRETO ARMADO EM SITUAÇÃO DE INCÊNDIO

Marcelo Mesquita do Amaral
Mauro de Vasconcellos Real

DOI 10.22533/at.ed.3262101064

CAPÍTULO 5..... 58

AVALIAÇÃO DE DESEMPENHO ACÚSTICO DE UMA HABITAÇÃO EM WOOD FRAME NA CIDADE DE SÃO CARLOS – SP

Alexandre Rodriguez Murari
Guilherme Côrrea Stamato
Victor José dos Santos Baldan
Javier Mazariegos Pablos

DOI 10.22533/at.ed.3262101065

CAPÍTULO 6..... 68

SISTEMA DE MONITORAMENTO TÉRMICO DE BAIXO CUSTO PARA ÁREAS DE

ARMAZENAMENTO DE MEDICAMENTOS

Anderson Natel Soares

DOI 10.22533/at.ed.3262101066

CAPÍTULO 7..... 71

DESENVOLVIMENTO DE PAINEL RECONSTITUÍDO PLÁSTICO-MADEIRA DE BAIXA DENSIDADE

Alice Fontineles Ribeiro

Marcio Franck de Figueiredo

Jose Leonardo dos Santos Carvalho

Fabiana Martins Souza da Silva

Juliana Fonseca Cardoso

DOI 10.22533/at.ed.3262101067

CAPÍTULO 8..... 78

SANEAMENTO BÁSICO E ENTEROPARASIToses: INFLUÊNCIA DIRETA NA RELAÇÃO SAÚDE-DOENÇA

Bianca Vallery Fabiano

Leonardo Muniz Belizário

Andressa Cristina Kretschmer

Rodrigo José Paiva Cruz

Isis Carolina Massi Vicente

Daniela Sikorski

Luana Aparecida Cossentini

DOI 10.22533/at.ed.3262101068

CAPÍTULO 9..... 85

A APLICAÇÃO DAS POLÍTICAS PÚBLICAS NO CONTEXTO DO SANEAMENTO BÁSICO NA GESTÃO MUNICIPAL DE BELÉM, ANANINDEUA E CASTANHAL-PA, NO PERÍODO ENTRE 2010 A 2018

Educélio Gaspar Lisbôa

Leonardo Augusto Lobato Bello

Érico Gaspar Lisbôa

Heriberto Wagner Amanajás Pena

DOI 10.22533/at.ed.3262101069

CAPÍTULO 10..... 102

CRITÉRIOS DE SENIORIDADE E NÍVEIS SUBSEQUENTES PARA CLASSIFICAÇÃO DE AUDITORES DE BARRAGENS

Rafaela Baldi Fernandes

Karina Lívia Vieira

Felipe Daiha Alves

DOI 10.22533/at.ed.32621010610

CAPÍTULO 11..... 113

DESEMPENHO MECÂNICO DE DIFERENTES SOLOS ESTABILIZADOS COM CAL HIDRATADA

Aloísio Felipe de Pádua Lima

Diogo Antonio Correa Gomes
Eduardo Hélio de Novais Miranda
Luís Eduardo Silveira Dias
Pedro Luiz Terra Lima

DOI 10.22533/at.ed.32621010611

CAPÍTULO 12..... 120

**ESTUDO DE VIABILIDADE DE ROTAS RODOFLUVIAIS NA CIDADE DE MARABÁ-PA
COMO APOIO AO TRANSPORTE URBANO**

Isaac Gabriel Peixoto Borges de Oliveira
Alan Monteiro Borges
Nuria Pérez Gallardo

DOI 10.22533/at.ed.32621010612

CAPÍTULO 13..... 127

**ANÁLISE DE AEROFÓLIOS DE ALTA SUSTENTAÇÃO PARA APLICAÇÃO EM
AERONAVE CARGUEIRA NÃO TRIPULADA DA EQUIPE ARAERO AERODESIGN**

Jéssica Sales Pereira dos Santos
João Pedro Avancini Dias
Antonio Ricardo Grippa Satiro

DOI 10.22533/at.ed.32621010613

CAPÍTULO 14..... 146

**ESTUDO ANALÍTICO, DIMENSIONAMENTO E FABRICAÇÃO DE UM VENTILADOR
CENTRÍFUGO COM PÁS CURVADAS PARA TRÁS E TRAÇADO DAS CURVAS
CARACTERÍSTICAS**

Carlos Alberto da Maia
Marco Antonio Sampaio Ferraz de Souza

DOI 10.22533/at.ed.32621010614

CAPÍTULO 15..... 156

**ESTUDO ANALÍTICO DE UM VENTILADOR CENTRÍFUGO E CONFECÇÃO DE UMA
BANCADA EXPERIMENTAL**

Carlos Alberto da Maia
Marco Antonio Sampaio Ferraz de Souza

DOI 10.22533/at.ed.32621010615

CAPÍTULO 16..... 167

**INFLUÊNCIA DA IMPREGNAÇÃO CONTRA DEMANDA BIOLÓGICA NAS PROPRIEDADES
FÍSICO-MECÂNICAS DAS MADEIRAS DE CAIXETA (*Simarouba amara*)**

Andréa de Souza Almeida
Gabriel Criscuolo
Francisco Antonio Rocco Lahr
André Luis Christoforo

DOI 10.22533/at.ed.32621010616

CAPÍTULO 17..... 180

EVALUACIÓN DE LA CAPACIDAD ANTIOXIDANTE Y COMPUESTOS BIOACTIVOS EN

**PURÉ INSTANTÁNEO DE DIEZ CLONES DE PAPAS NATIVAS (*Solanum tuberosum*)
CULTIVADAS EN ANDAHUAYLAS**

Carlos Alberto Ligarda Samanez

David Choque Quispe

Betsy Suri Ramos Pacheco

Elibet Moscoso Moscoso

DOI 10.22533/at.ed.32621010617

SOBRE O ORGANIZADOR.....	192
ÍNDICE REMISSIVO.....	193

DESIGN FAILURE MODE AND EFFECTS ANALYSIS (DFMEA) OF THE ROD OF THE SUBSEA PIPELINE LOCKING SYSTEM IN AN OPEN PLET

Data de aceite: 25/05/2021

Data de submissão: 28/02/2021

Raphael Basilio Pires Nonato

CEFET/RJ, Mechanical Engineering
Department
Nova Iguaçu – RJ
<http://lattes.cnpq.br/9331089672178927>

Wesley Souza Gouvêa

CEFET/RJ, Mechanical Engineering
Department
Nova Iguaçu – RJ
<http://lattes.cnpq.br/5601658783880913>

ABSTRACT: One of the most important equipment in a subsea oil and gas production field is the PLET (pipeline end termination), which in its open configuration (open PLET) allows the locking of part of this pipeline at a time after the launch of the equipment itself. Based on preliminary analytical calculation and assumptions made, it was found that the critical component of this system is the locking rod, reason why, in addition to the mentioned calculation, a finite element analysis was performed, obtaining displacement and stress. However, the detection of the regions most susceptible to failure cannot be ruled out only by the calculated safety factors corresponding to these regions. To perform a more comprehensive mapping, a design failure mode and effects analysis (DFMEA) was conducted, resulting in an ordination of the critical regions of the studied component. As the main result, the DFMEA

presented the transition region between the thread rod and the slender cylinder as the critical one, both with regard to compression and torsion combined, as well as when the referred efforts are aggregated to the contact with the mobile pin thread.

KEYWORDS: DFMEA, FMEA, structural analysis, open PLET, subsea pipeline.

1 | INTRODUCTION

Fossil fuels are responsible for about 85% of world's energy consumption, being oil and gas representative of around 65% of fossil fuels. The exploration of these natural resources in deep and ultra-deep water depth (off shore) makes required process more expensive when compared to surface (on shore). From this perspective, there is a continuous search for cost reduction, mainly in what refers to installation and retrieval time, according to Bai and Bai (2012). Therefore, in the scope of this industry, the research plays an important role, highlighting the care to extract these products with the maximum efficiency (due to being a non-renewable resource) and safety (being operationally effective without failures).

1.1 Open PLET

In an improvement context, a newly developed version of the PLET is presented in an open configuration. The main difference between the open PLET and the conventional

one (see Figure 1) is that in the former the pipeline and the open PLET are installed separately (the pipeline is installed on the seabed and posteriorly the open PLET is installed, or the PLET can be installed first, waiting for the lowering of the pipeline). No matter the selected sequence, at the end of installation, the pipeline will be locked in the open PLET by the locking system. This type of configuration is employed mainly in situations where the loads imposed by the environment on the conventional PLET are estimated to be very high or when the weight of the PLET may damage the seabed in the installation.

The design of the equipment intrinsically addresses the restrictions about the possible installation methods of the pipeline. In Figure 2, in the first step, the pipeline is vertically lowered and landed on the seabed (the open PLET is subsequently lowered). The second step consists of landing the PLET over the pipeline. Third step is the axial fine adjustment between the two. The fourth step is the pipeline lifting to fit in the receptacle of the PLET. The last step is the locking of the pipeline in the operational position via the four mechanical lock assemblies.

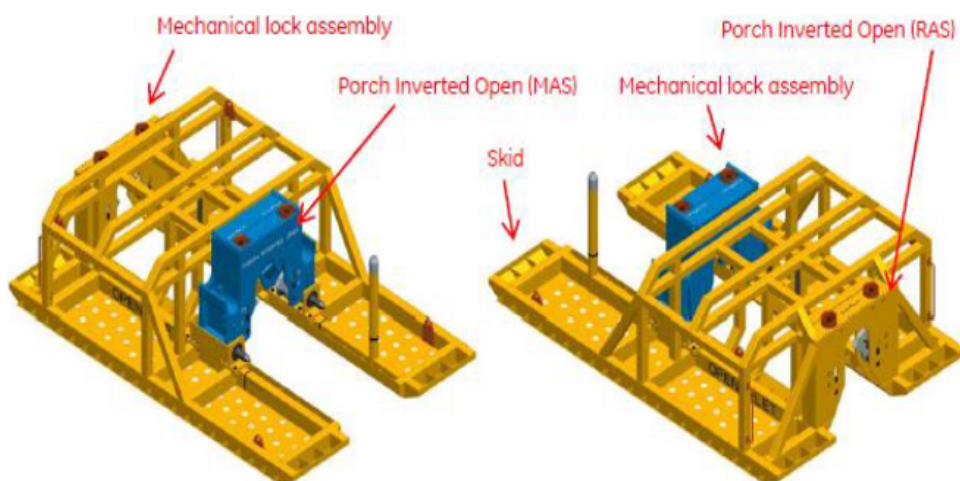


FIGURE 1. Main components of an open PLET.

Source: adapted from Thorsen (2012).

The rear alignment structure (RAS) and the main alignment structure (MAS) are designed to provide orientation, alignment and vertical locking of the pipeline. The former receives the pipeline in the rear part (inlet) of the open PLET, while the latter is where the outlet of the pipeline is locked. There are two mechanical lock assemblies at each alignment structure, totalizing then four mechanical lock assemblies in an open PLET. The skid refers to the structure itself to house the locking system, support, and transfer all the loading to the seabed.

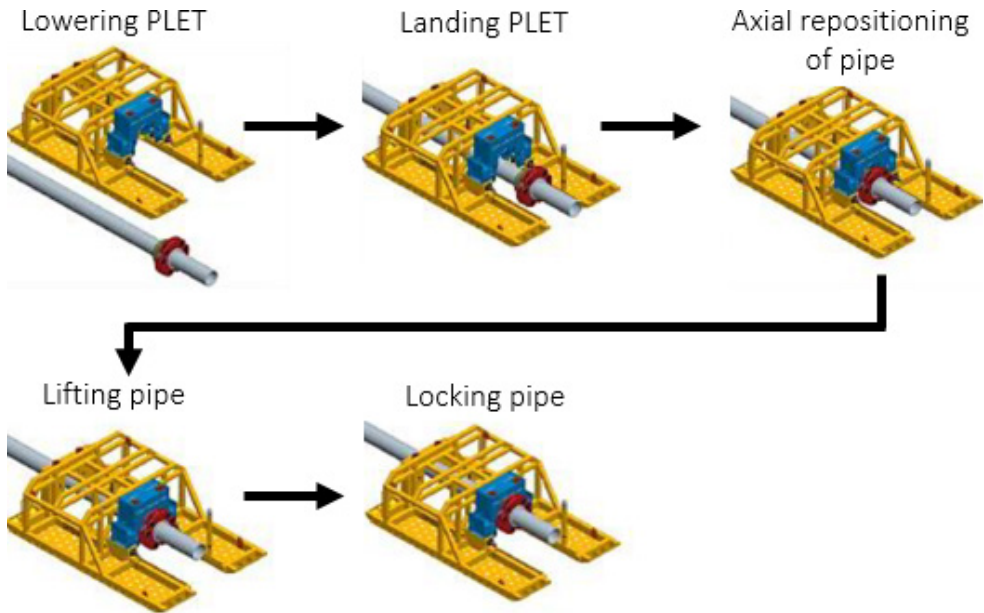


FIGURE 2. Steps for installation of a pipeline in an open PLET.

Source: adapted from Thorsen (2012).

Upon this open PLET configuration and coherently with the installation sequence, the pipe locking step (last step in Figure 2) requires a subsystem to lock (or unlock in the case of retrieval of the equipment), which is shown in Figure 3, highlighting its main components. In order to operate the mechanical lock assembly, a torque tool and a remotely operated vehicle (ROV) are required. The former is the tool responsible to apply directly the torque on the hex interface to activate the entire locking mechanism and the latter is the referred robot to operate the torque tool.

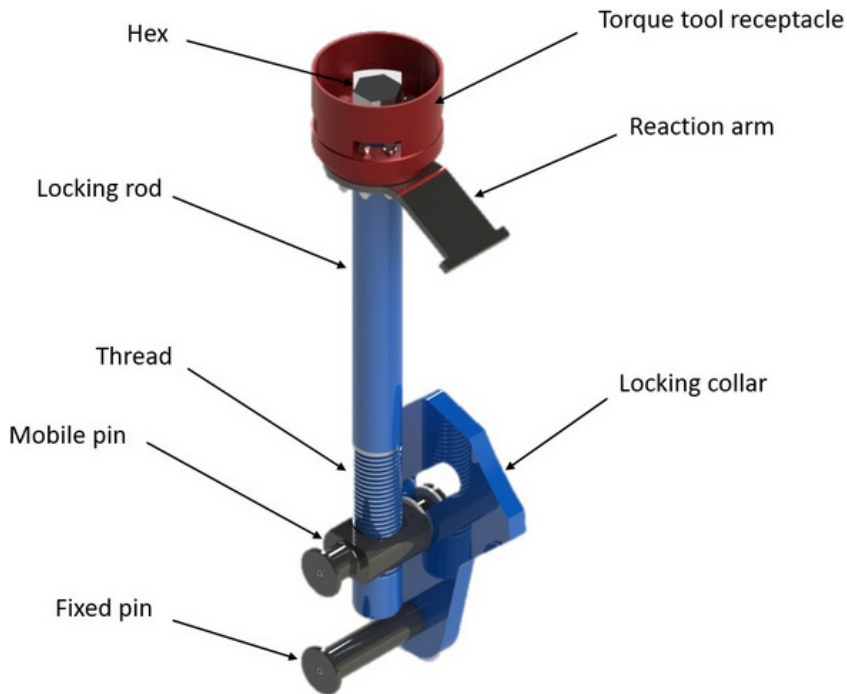


FIGURE 3. Main components of the mechanical lock assembly.

Source: own authorship (2020).

The torque tool receptacle is responsible to keep the hex end of the locking rod protected from accidental loads and allow the first alignment of the torque tool during loosening or tightening operations. It also has a reaction arm attached to it in order to lock the rotation due to its contact with other parts of the structure. The fixed pin supports the rotation of the locking collar and the mobile pin is reciprocal to the locking rod, pushing the locking collar to rotate and lock the pipeline in its position. Finally, the locking rod is responsible to transmit the work done by the torque tool to the locking collar through the mobile pin. The locking rod is the object of calculation of this paper. Its possible working positions are shown in Figure 4.

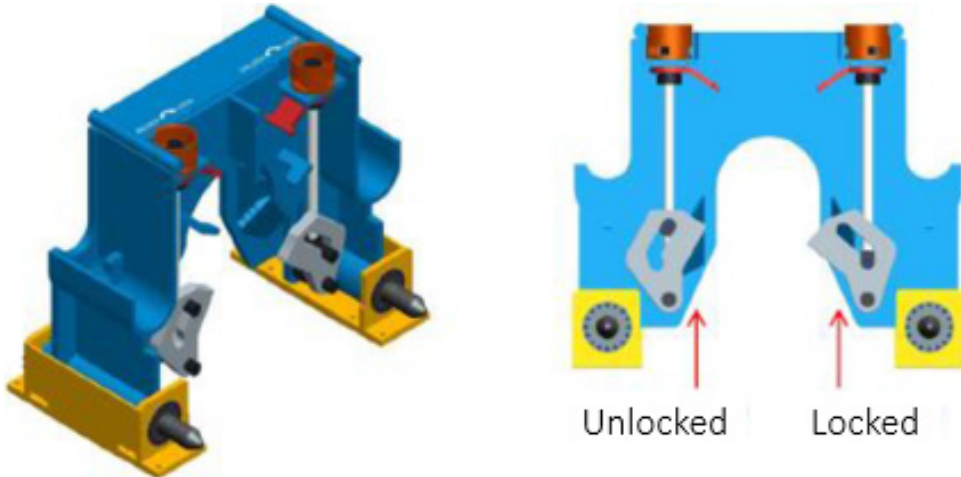


FIGURE 4. Working positions of the locking system.

Source: adapted from Thorsen (2012).

1.2 Design Failure Mode and Effects Analysis (DFMEA)

According to Stamatis (2003), FMEA consists of an engineering technique mainly used to define, identify, and eliminate known and/or potential failures, errors, etc. in systems, designs, processes and/or services before they are delivered to the customers, which requirements must be attended. It is widely employed in the most diverse types of industries due to its applicability and potential to generate financial return. As mentioned by Peeters et al. (2018), it is a bottom-up method, since the analysis starts from the component level to the assembly. It is also used for reducing the potential failures, therefore increasing reliability (Liu et al., 2013). In addition, from a strategic point of view, FMEA provides enough information to support risk management decisions (Jacoby, 2012).

The whole process is conducted at first mapping all the failure modes and their corresponding effects. Thenceforth, for each failure mode a grade is attributed in the following categories: (a) severity; (b) occurrence; and (c) detection. For each category, a table is commonly used to relate a description to a grade. The risk priority number, RPN, is therefore generated by multiplying the grades from the three categories, as mentioned by McDermott et al. (2008) in Equation 1, where S stands for severity (see Table 1), O for occurrence (see Table 2), and D for detection (see Table 3):

$$RPN = S O D. \quad (1)$$

In order to clarify the descriptions of Tables 1 and 3, some terms employed must be enlightened. The word “customer” in Table 1 may have different meanings. For example, if a company has only the design as scope of work, then the customer is outside. However, if

the referred company also covers post-design processes such as manufacturing, assembly, testing, painting, etc., then the customer is inside the company itself. Supplier means the design team or members, whereas performance in design refers to evaluation in a simulation or calculation. The context of the word “product” refers to the virtual product created in computer softwares.

Severity Categories	
Description	Grade
The discrepancy is imperceptible by the customer.	1
The discrepancy is insignificant.	2
Customer dissatisfied, with slight effect on product.	3
Customer dissatisfied, communication with the supplier, modifications necessary.	4
Customer complains, with moderate effect on product performance.	5
Failure of at least one subsystem, impairing functionality.	6
Customer now considers an alternative supplier, if it is possible.	7
The product is not functioning.	8
Critical effect on customer satisfaction with threat to property.	9
Threat to life; company image under risk. Failure occurs suddenly.	10

TABLE 1. Severity categories adopted.

Source: adapted from Stamatis (2003).

Occurrence categories		
Probability (%)	Description	Grade
0 – 20	Failure does not occur or the chance is low.	2
21 – 40	The failure probability is lower than that of not occurring.	4
41 – 60	The probability of occurrence of failure is a little lower, equal, or a little higher than that of not occurring.	6
61 – 80	The failure probability is much greater than that of not occurring.	8
81 – 100	The failure is almost a natural consequence of the design.	10

TABLE 2. Occurrence categories adopted.

Source: own authorship (2020).

Detection categories		
Phase	Description	Grade
Initial specification	Failure to understand customer specifications/standards.	1.25
Preliminary calculation	Failure in calculation to provide initial dimensions (proportionality between components).	2.5
Conceptual design	Failure occurs when the concepts and functioning of the product are defined.	3.75
Calculation	Failure in calculation to provide almost definitive design dimensions.	5
Detailed design	Failure when providing dimensions, material, surface finish, geometrical characteristics, etc. to the product.	6.25
Virtual assemblage test	Failure to virtually assembly all the components under the information provided.	7.5
Design verification	Failure detected in the verification process related to the work done up to this stage.	8.75
Design approval	Failure detected in the approval process related to the work done up to this stage.	10

TABLE 3. Detection categories adopted.

Source: own authorship (2020).

Research related to FMEA has been conducted all over the years, even with little emphasis on DFMEA. Peeters et al. (2018) combined FMEA with fault tree analysis (FTA) in an additive manufacturing system. Mashaqbeh et al. (2019) proposed a method to optimize FMEA through an application in a power plant. Kulcsár et al. (2020) introduced a pairwise comparison based FMEA which allows the estimation of indices of the previously not evaluated risks.

Related specifically to DFMEA, Chang and Wen (2010) proposed a novel approach for DFMEA (combining 2-tuple and the ordered weighted averaging, OWA, operator). Nonato and Pastoukhov (2012) implemented DFMEA calculation on a structural frame similar to a PLET. Tamaldin et al. (2013) performed a design optimization of a vehicle system using DFMEA and other analyses. Torres et al. (2018) created a probabilistic Boolean network modeling and model check as surrogate approach for DFMEA of manufacturing systems.

2 | MATERIALS AND METHODS

The analysis of the locking rod was made considering that the process is isothermal and isochoric, the material is homogeneous and isotropic, and that Saint Venant's principle is observed (concentration factors are taken into account). The material of the locking rod is the AISI 4130, normalized at 870°C, exception made for the hex part and for the thread, which are suddenly cold when the heating reaches 855°C (quenching process). The material

properties of this component are presented in Table 4.

Quantity		Magnitude		Magnitude
Brinell hardness (HB)	NORMALIZED PART	163	QUENCHED PART	241
Ultimate tensile strength (MPa)		615		841
Yield tensile strength (MPa)		400		655
Modulus of elasticity (GPa)		205		205
Poisson's ratio		0.29		0.29
Elongation at break (%)		27.0		20.5
Reduction of area (%)		61.2		63.6

TABLE 4. Locking rod material properties (AISI 4130). Source: Matweb (2020).

2.1 Free Body Diagram

This diagram is made to input the analytical calculation and the finite element analysis performed to output the DFMEA. The particular situation in which this design is performed occurs at exact moment of the pipeline locking. This can be described by the torque tool applying its maximum torque on the locking rod, besides the existence of the weight force from the assembly composed by the torque tool and ROV (considered partially). The complete free body diagram is shown in Figure 5, in which the nomenclature is understood as follows: variables initiating with letter “D” stand for diameters; “F” for forces; “L” for lengths; and “M” for moments, which values (geometrical and loading) are listed in Table 5. The values contained in this table are only magnitudes, not reflecting the vector representation related to the coordinate axes. For details about directions, refer to Figure 5.

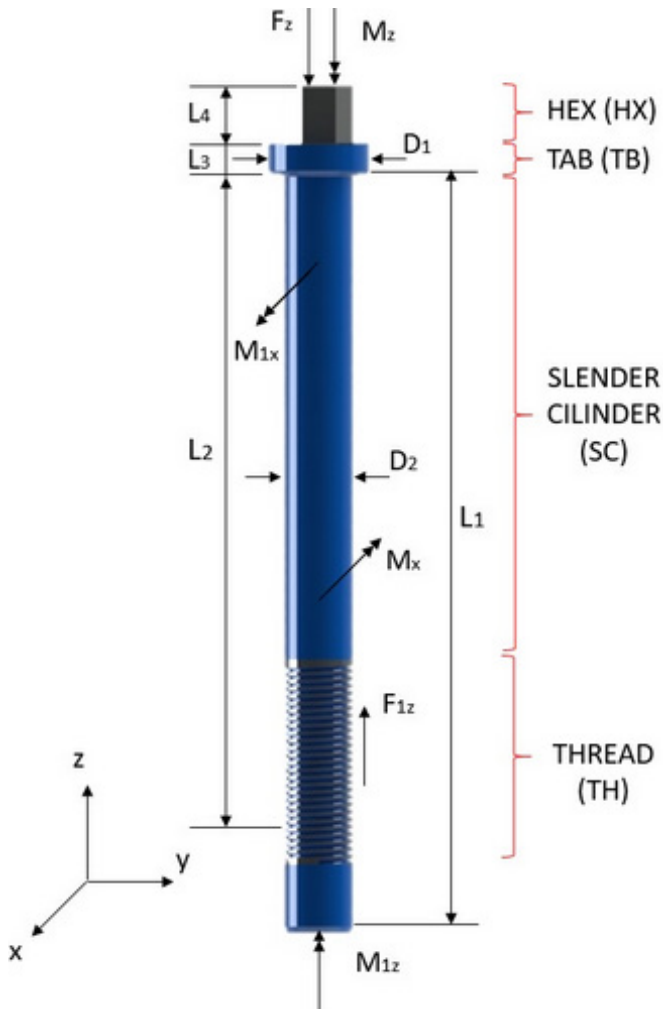


FIGURE 5. Free body diagram of the locking rod.

Source: own authorship (2020).

GEOMETRICAL	Quantity	Magnitude (mm)	LOADING	Quantity	Magnitude
	Length L_1	1300.0		Force F_z	4542 N
	Length L_2	1183.0		Force F_{1z}	4542 N
	Length L_3	50.000		Moment M_{1x}	91771852.5 Nmm
	Length L_4	100.00		Moment M_x	91771852.5 Nmm
	Diameter D_1	138.00		Moment M_z	2700000 Nmm
	Diameter D_2	114.30		Moment M_{1z}	2700000 Nmm

TABLE 5. Values of the geometrical and loading quantities.

Source: own authorship (2020).

The force F_z comes from the partially considered weight of the ROV and the full weight of the torque tool from up above in the operation. The torsional moment M_z is transferred to the locking rod via torque tool. The moment M_x originates due to the weight of the pipeline on the collar and the distance between the mass center of the pipeline and the center of the mobile pin. The other loadings are reactions due to F_z , M_x , and M_z . The reaction F_{1z} is caused directly by F_z when the locking rod thread touches the mobile pin thread, i.e. it is due to the threaded connection of the mobile pin (when the pipeline lands over the locking collar, the latter intends to lower the mobile pin and the locking rod). The reaction moment M_{1x} is due to a support in the structure, preventing the upper part of the slender cylinder to bend. The moment M_{1z} concerns the impossibility to rotate locking rod related to the mobile pin via threaded interface.

2.2 Analytical Calculation and Finite Element Analysis (FEA)

The analytical calculation was performed by applying the classical solid mechanics formulation for stresses and safety factors for ductile materials. The stress concentration phenomenon was taken into account by the stress concentration factor associated to the mean actuating stress, selecting the most suitable concentration factors available for the geometrical transitions found in this design. The infinitesimal elements selected are potentially the most critical and are under plane stress state. These elements are located at: (a) transition between hex and tab, but at hex; (b) the edge of the torque tool touches the edge of the hex; (c) periphery of the cylindrical surface of the tab; (d) lower surface of the tab; (e) transition between the slender cylinder and the tab, but at the slender cylinder; (f) mid-span of the slender cylinder; (g) transition between the slender cylinder and thread, but at the thread; (h) thread flank.

The main equations applied in this work are compression, torsion, bending, contact stresses, and critical load from buckling, which are expressed, respectively, by Equations 2, 3, 4, 5, and 6:

$$\sigma_{COM} = \frac{F}{A}, \quad (2)$$

$$\tau_T = \frac{M_T r}{I_P}, \quad (3)$$

$$\sigma_B = \frac{M_B y}{I}, \quad (4)$$

$$\sigma_C = \frac{F_C}{A_P}, \quad (5)$$

$$F_{CRI} = K_B \left(\frac{\pi}{L} \right)^2 E I, \quad (6)$$

in which F is the force normal to the analyzed plane, and A is the area under

compression (which normal to the plane under analysis is parallel to the compression force vector and opposite in direction to it). M_T is the torsional moment, r is the radius of the region under torsion, and I_P is the polar moment of inertia. The bending moment is M_B , the distance between the neutral axis and the point to calculate is y , and I is the moment of inertia related to the rotation axis. F_C is the contact force and A_P is the area of a component projected on the other. $K_B = 1$ (one end fixed, the other articulated) is the support condition for buckling, F_{CR1} is the critical load magnitude to provoke the buckling phenomenon, L is the length under buckling, and E is the elasticity modulus.

The combination of stresses is made when and where necessary to compose the principal stresses in plane stress state. These principal stresses are introduced in von Mises failure criterion to calculate the safety factor N (Equation 7) of each infinitesimal element mentioned based on yield strength.

$$N = \frac{S_Y}{\left(\sigma_1^2 + \sigma_2^2 - \sigma_1\sigma_2\right)^{\frac{1}{2}}}, \quad (7)$$

After the analytical calculation, a finite element analysis (FEA) was performed in Ansys® software. The results are given in terms of displacements and stresses. The analysis followed the free body diagram, in which material parameters were taken from Table 4, and geometrical and loading parameters were extracted from Table 5.

3 | RESULTS AND CONCLUSIONS

The free body diagram shown in Figure 5 and the data contained in Tables 4 and 5 were input for the calculation performed. The finite element analysis performed is represented graphically in Figure 6 (mesh adopted, and stress in hex and tab regions), Figure 7 (stress in transition from the slender cylinder to the thread, and displacement in hex and tab regions). The edge sizes of the largest and the smallest of the tetrahedral finite elements employed are 7.5 and 2.5 mm, respectively (using the curvature-based mesh).

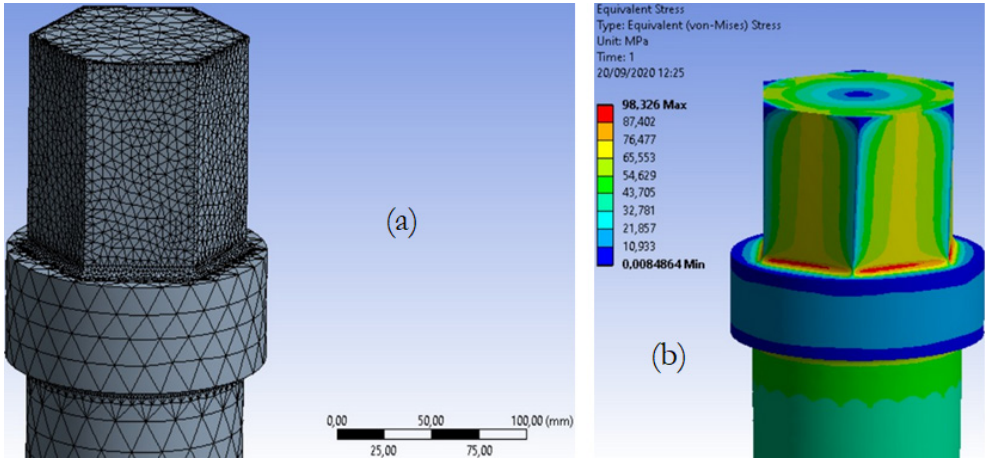


FIGURE 6. (a) Mesh in hex and tab regions of the locking rod; (b) Stress in hex and tab regions of the locking rod.

Source: own authorship (2020).

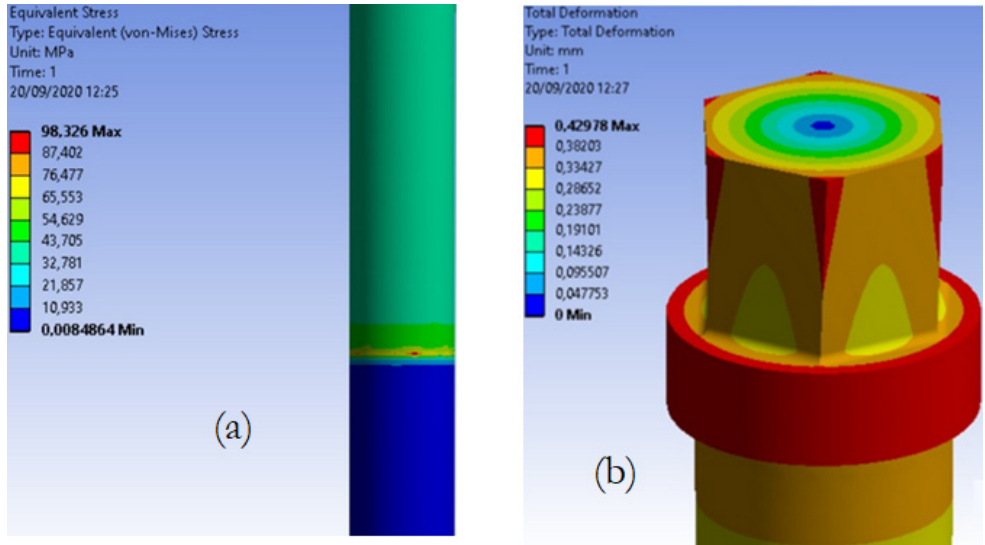


FIGURE 7. (a) Stress in transition between the slender cylinder and the thread of the locking rod; (b) Displacement in hex and tab regions of the locking rod.

Source: own authorship (2020).

For simplification purposes and highlighting the focus on the output DFMEA, the analytical calculation is summarized by the safety factors of each region of the locking rod. The proposed initial design could not support the bending moment M_x from the pipeline weight acting over the rod. Therefore, a new design had to be proposed, eliminating the bending moment by the addition of a support plate behind the rod. Besides the desired effect, a friction coefficient equal to 0.12, as indicated by Stachowiak and Batchelor (2013)

between the rod and the plate surfaces now exist, generating a resistant torque and an axial force not present in the old design. The safety factors for the old and new designs are presented in Table 6. It can be noted that the situation in which combined stresses (compression, torsion, and bending) in the slender cylinder result in a safety factor of 0.637 in the old design, which is obviously not acceptable. Adding the referred plate to the design, a new safety factor of 5.711 results, besides also changing the safety factors corresponding to the other regions analyzed. The possible effects related to the failure modes identified in Table 6 are listed in Table 7.

Region of the locking rod	Type of stress or phenomenon	Code of failure mode	Old safety factor	New safety factor
Hex	Compression and torsion	1	15.963	8.535
	Contact	2	14.846	8.022
Tab	Compression and torsion	3	43.825	23.327
	Contact	4	408.004	41.414
Slender cylinder	Compression, torsion, and bending	5	0.637	8.257
	Buckling	6	2209.124	224.232
Thread	Compression and torsion	7	12.626	6.725
	Contact	8	309.713b	31.437

TABLE 6. Safety factors for the old and new designs.

Source: own authorship (2020).

It is important to note that, although the safety factors corresponding to the new design are relatively high, one of the most important premises of oil and gas industry (besides efficiency and safety) is the maintenance frequency. In other words, during the expected operational life, it is not desired to retrieve the equipment from its operation, for example, to perform maintenance, no matter how small or simple it may be. Other reasons undergo the uncertainties related to every information related to the design (estimations, assumptions, considerations, etc.).

Effect	Code of effect
Instability condition	1
Inutilization (substitution is required)	2
Significant geometry change	3
Warpage	4
Plastification	5
Ovalization	6

Flattening	7
Buckling	8
Functionality loss (repair is possible)	9
Additional difficulty to function	10

TABLE 7. Effects related to the failure modes and their codes.

Source: own authorship (2020).

The DFMEA was performed based on the new design assumed (presented in Table 8). As can be noted, in terms of failure and effects, the critical region is the thread. This is mainly explained by the fact that the stresses amplify their magnitudes in the transition from the slender cylinder to the thread, which is a common stress concentration region. Any damage to the thread may imply strong difficulty in locking system operation or even the loss of functionality. The second most critical region is the slender cylinder, according to the results of the DFMEA performed here (Table 8). The stress concentration phenomenon is present at both ends (interface with the thread and the tab). Because it is the most slender region, buckling was checked. In the third position, the hex region may be geometrically mangled, making hexagonal fitting difficult with the torque tool. Therefore, the efficiency and efficacy of the operation may not be achieved.

From this perspective, if the failure occurs, the region corresponding to the transition between the thread and the slender cylinder will be the most critical, producing the effect of making the locking mechanism inoperable. If the damage allows the pipeline to be locked in its working position, the open PLET may even operate as it is. Otherwise, extra time and money will be spent in the substitution of the mechanical lock assembly to recover the equipment functionalities.

Code of failure modes	Effects	Severity	Occurrence	Detection	RPN	Aggregated RPN
1	3, 4, 7, 10	5	4	3.75	75	105
2	5	2	4	3.75	30	
3	4, 5, 6, 7	1	2	2.5	5	10
4	5, 7, 10	1	2	2.5	5	
5	5, 7	8	4	5	160	250
6	1, 3, 4, 5, 6, 8, 10	9	2	5	90	
7	2, 3, 5, 9	9	6	6.25	338	412.5
8	5	6	2	6.25	75	

TABLE 8. DFMEA of the locking rod.

Source: own authorship (2020).

REFERENCES

BAI, Y.; BAI, Q. **Subsea Engineering Handbook**. Elsevier, Amsterdam, Netherlands, 908 p., 2012.

CHANG, K.-H.; WEN, T.-C. **A novel efficient approach for DFMEA combining 2-tuple and the OWA operator**. Expert Systems with Applications, v. 37, p. 2362-2370, 2010.

JACOBY, D. **Optimal supply chain management in oil, gas, and power generation**. PennWell, Tulsa, USA, 290 p., 2012.

KULCSÁR, E.; CSISZÉR, T.; ABONYI, J. **Pairwise comparison based failure mode and effects analysis (FMEA)**. MethodsX, v. 7, p. 1-8, 2020.

LIU, H. C.; LIU, L.; LIU, N. **Risk evaluation approaches in failure mode and effects analysis: a literature review**. Expert Systems with Applications, v. 40, n. 2, p. 828-838, 2013.

MASHAQBEH, S. A.; MUNIVE-HERNANDEZ, J. E.; KHAN, M. K. **Using EWGM method to optimize the FMEA as a risk assessment methodology**. Concurrent Engineering Research and Applications, v. 27, n. 2, p. 144-154, 2019.

MATWEB: **Material properties of AISI 4130 normalized at 870°C**. Available in: <<http://www.matweb.com/search/DataSheet.aspx?MatGUID=c2decafd41b94684bf6f9114ff3cb661&ckck=1>>. Access on: 13 may. 2020.

MATWEB: **Material properties of AISI 4130 water quenched at 855°C**. Available in: <<http://www.matweb.com/search/DataSheet.aspx?MatGUID=ac4f5d5520754966925563d4437e07a6>>. Access on: 13 may. 2020.

McDERMOT, R. E.; MIKULAK, R. J.; BEAUREGARD, M. R. **The Basics of FMEA**. Productivity Press, New York, USA, 75 p., 2008.

NONATO, R. B. P.; PASTOUKHOV, V. **Análise de Efeitos e de Modos de Falhas de Projetos (DFMEA) Aplicada a um Pórtico Espacial Metálico Visando à Otimização**. Proceedings of the 10th Symposium of Computational Mechanics (SIMMEC), Belo Horizonte, Brazil, pp. 1-15, 2012.

PEETERS, J. F. W.; BASTEN, R. J. I.; TINGA, T. **Improving failure analysis efficiency by combining FTA and FMEA in a recursive manner**. Reliability Engineering and System Safety, v. 172, p. 36-44, 2018.

STACHOWIAK, G.; BATCHELOR, A. **Engineering Tribology**. Butterworth-Heinemann, Oxford, England, 884 p., 2013.

STAMATIS, D. H. **FMEA from Theory to Execution**. Quality Press, Milwaukee, USA, 686 p., 2003.

TAMALDIN, N.; YAMIN, A. K. M.; ABDOLLAH, M. F. B.; AMIRUDDIN, H.; ABDULLAH, M. A. **Design optimization of thermal management system for electric vehicle utilizing CFD analysis, DFMEA and CES**. Procedia Engineering, v. 68, p. 305-312, 2013.

THORSEN, S. **Conceptual Design and Review of Open PLET System**. Master's thesis in Mechanical Engineering – University of Stavanger, 172 p., 2012.

TORRES, P. J. R.; MERCADO, E. I. R.; RIFÓN, L. A. **Probabilistic Boolean network modeling and model checking as an approach for DFMEA for manufacturing systems**. J. Intell. Manuf., v. 29, p. 1393-1413, 2018.

ÍNDICE REMISSIVO

A

Absorção sonora 1, 2, 3, 7, 8, 9, 10, 11, 12

Aditivos químicos 113

Aerodesign 127, 128, 132, 144, 145

Antocianinas 180, 181, 183, 184, 185, 186, 187, 189, 190, 191

Argissolo 113, 115, 117, 118, 119

Arrasto 127, 128, 129, 130, 134, 135, 137, 138, 140, 144

Auditores de barragens 102

B

Bancada experimental 146, 150, 151, 152, 153, 156, 163, 164, 165

Boas práticas de fabricação 68, 69, 70

C

Cambissolo 113, 115, 117, 118, 119

Capacidade antioxidante 180, 182, 183, 184, 190, 191

Caracterização 74, 75, 113, 116, 117, 119, 146, 152, 167, 168, 171, 174, 175, 177

Carregamento equivalente 29, 31, 32, 39, 40, 41

Certificação 102, 105

Clones de papa nativa 180, 181, 182, 183, 184, 185, 186, 187, 188, 189, 190

Concreto armado 43, 44, 46, 55, 56, 57, 59

Curva granulométrica 2, 6, 10, 11, 12

D

Desempenho acústico 58, 59, 60, 63, 64, 65, 66

DFMEA 14, 18, 20, 21, 25, 27, 28

Diagrama de velocidades 146, 149, 156, 162

Dimensionamento à flexão 43

Distribuição das cordoalhas 29, 34, 36, 39

E

Epidemiologia 80, 84

Escoamento 30, 31, 129, 130, 131, 132, 133, 134, 140, 144, 147, 148, 149, 150, 154, 156, 158, 161, 162, 164, 166

Estruturas portuárias 43, 44

F

Fenoles 180, 182, 183, 184, 185, 187, 190, 191

FMEA 14, 18, 20, 28

I

Incêndio 43, 44, 45, 46, 47, 49, 50, 52, 53, 54, 56, 57

Indústria farmacêutica 68, 69

Internet das coisas 68

Investimentos públicos 85, 99

L

Laje lisa 29

Latossolo vermelho 113, 115, 117, 118, 119

M

Madeiras tropicais 168, 169

Mistura asfáltica 2, 3, 4, 5, 9, 10, 11

Mobilidade urbana 120, 121, 123, 125

Modelo de correlação 85, 87

O

Open PLET 14, 28

P

Painéis de vedação vertical 58

Painel de baixa densidade 71, 76

Painel reconstituído 71, 72, 73, 75, 76

Perfis aerodinâmicos 127, 128, 136, 140

Plástico-madeira 71, 73, 74, 75, 76

Policloreto de vinila 71, 72, 73

Políticas de incentivo 120, 121

Políticas públicas 82, 85, 86, 87, 88, 89, 90, 94, 95, 96, 99, 100, 101, 125

Preservação 167, 168, 170, 177, 178, 179

Propriedades físico-mecânicas 167, 168, 169, 170, 171, 177

Protensão sem aderência 29

Q

Quantidade de movimento 147, 148, 156, 158, 160, 161

R

Ruído 2, 3, 8, 12, 13, 58, 59, 60, 63, 64, 65, 66, 147, 159, 164

Rupturas de barragens 102, 103

S

Saneamento básico 78, 81, 82, 83, 84, 85, 86, 87, 90, 91, 92, 93, 94, 95, 96, 97, 98, 99, 100, 101

Senioridade 102, 107

Sistemas embarcados 68

Structural analysis 14

T

Transporte aquaviário 120

Transporte urbano 120, 124, 125, 126

Turbomáquinas 146, 147, 148, 149, 156, 158, 160, 161, 162

V

Variáveis 69, 70, 85, 87, 91, 92, 93, 94, 95, 96, 97, 98, 99, 100

Ventilador centrífugo 146, 147, 149, 150, 151, 152, 153, 154, 156, 157, 158, 159, 163, 164, 165, 166





W

Wood frame 58, 59, 60, 61, 65, 67

X

XFLR5 127, 128, 131, 134, 135, 136, 137, 139, 144, 145

DESAFIOS E IMPACTO DAS ENGENHARIAS NO BRASIL E NO MUNDO

 www.atenaeditora.com.br
 contato@atenaeditora.com.br
 @atenaeditora
 www.facebook.com/atenaeditora.com.br

DESAFIOS E IMPACTO DAS ENGENHARIAS NO BRASIL E NO MUNDO

 www.atenaeditora.com.br
 contato@atenaeditora.com.br
 [@atenaeditora](https://www.instagram.com/atenaeditora)
 www.facebook.com/atenaeditora.com.br